

九州大学 学生員 百田 徹也  
九州大学 正会員 神野 健二  
九州大学 正会員 上田 年七古

**1 まえがき** 地下水の過剰取水による地盤沈下および地下水の塩水化を防止するため、主に地下水漏の増強を目的として、地下水の人工養成が注目されている。人工養成水源には、雨水、下水処理水、河川水（洪水時の余剰水も含む）等があるが、いずれの場合も注入井あるいは浸透井の周壁における目つまりにより時間とともに注入水量が減少する。目つまりは注入水中の微生物の増殖や化学変化、懸濁粒子の物理的抑留等が原因となるが、本報では主に河川水等のように比較的高濃度の懸濁物を含む水を対象に、粘土質シルトを懸濁する水に対する砂の抑留現象を実験考察し、うろ過方程式を用いて定式化した。

**2 実験** 図-1の粒度分布を持つ砂と、その砂をふるったハッチの部分の粒径の範囲を用い、図-2の粘土質シルト（博多湾埋立地で採取）に対する実験を行った。図-3は実験装置である。実験は砂層に懸濁水を供給しつつ、流量、水頭分布、流入流出濃度、および実験終了時の砂層の場所ごとの抑留粒子量を測定した。

**3 基礎式** 流れは一次元流であるので、連続の式は、 $\partial u / \partial x = 0$  —— ①

Darcy 則  $u = -k \partial p / \partial x$  —— ②

懸濁粒子の保存則  $\partial C / \partial t + \partial (uC/\varepsilon) / \partial x$

$$= -\beta_1(1-\varepsilon_0)/\varepsilon \times \partial q_s / \partial t —— ③$$

抑留条件式はうろ過の式と同様に、 $\partial q_s / \partial t$

$$= \varepsilon B_1 C (1 - \beta_2 q_s) (1 + \beta_3 q_s) / q_s (1 - \varepsilon_0) —— ④$$

透水係数と抑留量の関係式として、Kozeny 式を

Stein が変形した式を用いて

$$\frac{q_s}{R_0} = \frac{(1 - \varepsilon_0) q_s \varepsilon_0 / (1 - f_0) \eta_h}{\varepsilon^3 (1 - \varepsilon_0) + (1 - \varepsilon_0) q_s \varepsilon_0 / (1 - f_0) \eta_h} \left[ \sqrt{\frac{q_s \varepsilon_0}{3(1 - f_0) \eta_h}} + \frac{1}{4} + \frac{q_s \varepsilon_0}{3(1 - f_0) \eta_h} + \frac{1}{2} \right] —— ⑤$$

空げき率と抑留量の関係式  $\varepsilon = 1 - (1 - \varepsilon_0) (1 + q_s \varepsilon_0 / ((1 - f_0) \eta_h))$  —— ⑥

$t$ : 時間(sec),  $x$ : 距離(cm),  $h$ : 水頭(cm),  $u$ : 断面平均流速(cm/sec),  $\varepsilon$ : 空げき率,  $\varepsilon_0$ : 初期空げき率,  $k$ : 透水係数(cm/sec),  $R_0$ : 初期透水係数(cm/sec),  $C$ : 間欠き流体中の粒子濃度(g/cm³),  $q_s$ : 砂1g 当の抑留粒子重量(g/g),  $\eta_h$ : 砂の単位重量(g/cm³),  $\eta_i$ : 懸濁粒子の単位重量(g/cm³),  $f_0$ : 抑留粒子内の二次空げき率,  $B_1$ ,  $\beta_1$ ,  $\beta_2$ ,  $\beta_3$ : 実験定数( $\beta_1$ は $1/\text{sec}$ , 他は無次元)

④式の  $\beta_1(1 - \beta_2 q_s) (1 + \beta_3 q_s)$  はうろ過方程式における阻止率入に対応する。入は、うろ過において抑留量の増加と共に図-4の曲線4のように変化するとされている。<sup>2)</sup> いま  $\beta_2 = \beta_3 = 0$  とすると直線1のように阻止率は一定となる。実際には飽和抑留量,  $q_s^*$  が存在する。  $\beta_2 = 1/q_s^*$ ,  $\beta_3 = 0$  とすると阻止率は直線2のように近似できる。 $\beta_3$  抑留の進行と共に阻止率を増加させるパラメータであるが、ここで

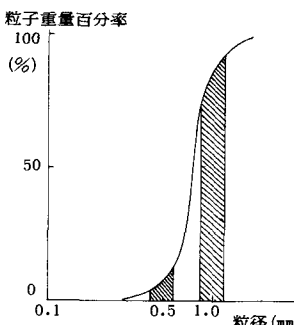


図-1 砂の粒度分布

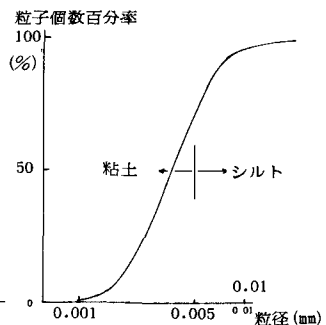


図-2 懸濁粒子の粒度分布

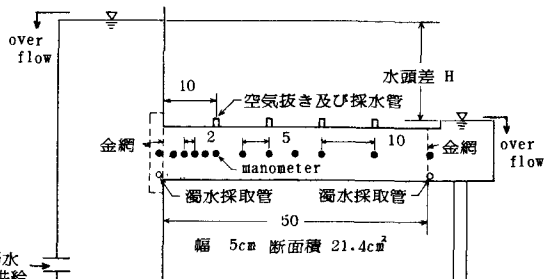


図-3 実験装置(下法単位cm)

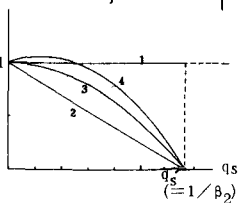


図-4 阻止率と抑留量

はその判定が困難であるので  $\beta_2 = \beta_3$  とした。この時阻止率  $k/k_0$  は曲線③のように、 $q_s = 0$  のときに最大となるが計算になる。 $\text{①} \sim \text{⑥}$  式は差分化して数値計算した。

4. 実験結果 まず⑥式の妥当性を検討した実験終了直前の砂層各部分の透水係数と終了後に実測した抑留量との関係を図-5に示す。図に示すように  $f_0 = 0.8$  程度で、⑥式は実験結果とほぼよく一致している。通常の急速ろ過では  $f_0$  は  $0.8 \sim 0.9$  程度となっており、ここで得られた  $f_0$  もそれに近い値になっている。また⑥式より粒径とは無

関係に成り立っているが、実験結果でも砂粒径による差は小さくない。また初期空けき率による相違もあり大きくはない。実験定数  $\beta_1, \beta_2, \beta_3$  について考えると、 $\beta_2$  の値は、各実験の抑留量実測値の最大値を図-5から  $0.06 \sim 0.1$  とし、これを  $q_s^*$  とすれば、 $\beta_2 = 1/q_s^* = 10 \sim 15$  が得られる。以下については、抑留の初期を考慮して  $q_s = 0$  として、流入端に近い所で  $C = C_{in}$  (流入濃度) とすると、④式より、 $(\partial q_s / \partial t) = \varepsilon_0 \beta_1 C_{in} / (k_s (1 - \varepsilon_0))$ 、 $\beta_1$  もまた微分すると、 $(\partial (k_s / k_0) / \partial t) = (\partial (k_s / k_0) / \partial q_s) \cdot \partial q_s / \partial t = (\partial (k_s / k_0) / \partial q_s) \cdot \varepsilon_0 \beta_1 C_{in} / (k_s (1 - \varepsilon_0))$  となり、 $\beta_1 = (\partial (k_s / k_0) / \partial t) \cdot (1 - \varepsilon_0) / (\partial (k_s / k_0) / \partial q_s) \cdot \varepsilon_0 \cdot C_{in}^2$  — ⑦

よって図-5の  $q_s = 0$  付近の傾きと、流入端での透水係数の時間変化から  $\beta_1$  が求められる。これによると、 $\beta_1$  は  $10^3 (1/\text{sec})$  程度となった。図-6～8には、 $d = 0.42 \sim 0.58 \text{ mm}$  の砂についての流量、流入流出濃度、実験終了時の砂層中の抑留量分布の実測値と計算値を示す。実験条件として、水頭差  $H = 48 \text{ cm}$ 、初期空けき率  $\varepsilon_0 = 0.423$ 、初期透水係数  $k_0 = 0.143 \text{ cm/sec}$ 、初期 Reynolds 数  $Re = 0.73$  で Darcy 则が成立する範囲にある。図-6～8から計算結果はこの現象の傾向を表現しているといえよう。他の実験でも、 $\beta_1 = 10^3$  程度が、ほぼ良い結果を与えた。

$\beta_1$  は懸濁水中の比較的大きい粒子の影響を受けやすく、供給する濁水をむかはんして径の大きい粒子の沈殿を防ぐ場合、 $\beta_1$  の値は1ヶタ近く大きくなる。

5. むすび 現在、本報で報告した粒子以外の砂についても実験考察を行っている。それにより、④⑥式の妥当性をさらに検討し、また  $\beta_1, \beta_2, \beta_3$  の隕蔽形を見出したいと考えている。(これらの定数は、砂粒径・空けき率・動水勾配・砂の形状・および流入水中の懸濁粒子の粒度分布の関数で取ると思われる) すでに数値計算は2次元流にについても行っており、これによって実際の人工浄養について、浄養地の土質と注入水の特性から、流量変化等を数値計算可能にしたいと考えている。

[1] Theory of Water Filtration T.R Camp F ASCE 8.1964

参考文献 2) 急速ろ過工程の数学的表現(1) 藤田賛二 水道協会誌 510号  
3) 懸濁物質の抑留機構に関する研究(1) 丹保義二他 水道協会誌 458号

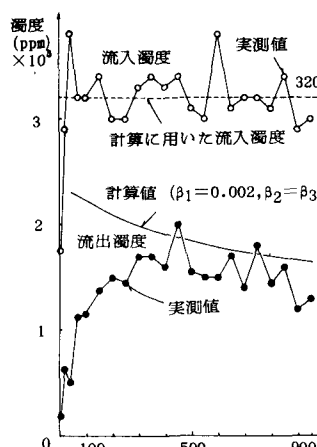


図-6 濃度変化

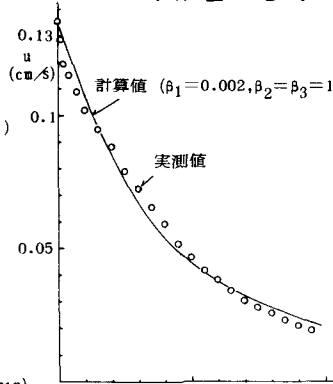


図-7 流量変化

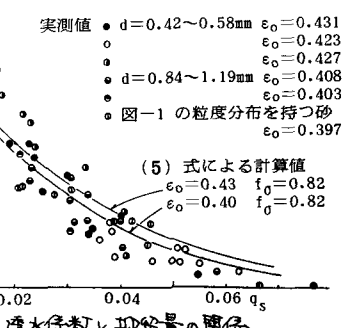


図-5 透水係数と抑留量の関係

計算値 ( $\beta_1 = 0.002, \beta_2 = \beta_3 = 13$ )

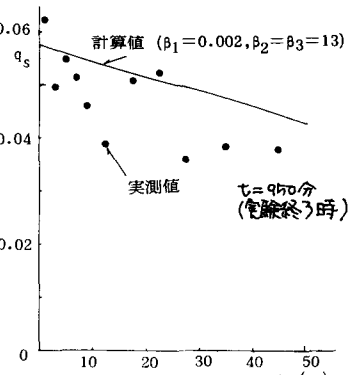


図-8 抑留量分布